

秋田大学 土木工学科 正員 稲農 知徳  
 秋田大学 土木工学科 正員 薄木 征三  
 秋田大学 土木工学科 学生員 ○ 鎌内 健仁

1. まえがき 曲線材の基礎弾性方程式は任意の座標軸の変位に関して求めると、曲率面内変位と曲率面外変位が連成し、4元連立微分方程式として得られることはすでに知られている。一般に構梁を用いられる曲線材は曲率面外荷重のみが作用するものとし、軸方向力と曲率面内の曲げモーメントを無視して曲率面内と曲率面外に関する弾性方程式に分離し曲率面外変位に関する2元連立微分方程式を解いて解析を行っている。一般に曲線材では、荷重の種類、支承条件および断面諸量の値が曲率面内における変位と曲率面外への変位との連成を左右している。例えば、一般荷重と支承条件に対して任意軸に関する変位を表わす弾性方程式は曲線材の断面が曲率面に平行な軸に関して対称な場合には連成項における断面諸量( $\psi_y, J_{yy}, C_x$ )はすべて零となり完全に分離独立する。これ以外の場合には連成項の断面諸量がすべて零となることはない。構梁を用いられる曲線材の断面では曲率面上に平行な軸に関して対称な場合は上下フランジが等しいI形断面と上下フランジ板厚が等しく上フランジ張出し部のない箱型断面に限られる。また冒頭述べた曲線材の場合でも、曲率面内変位は必ずしも曲率面内の断面力が零となる条件は直列單純支持の場合に限られ連続曲線材などでは厳密性を欠いている<sup>1)</sup>。そこで連続曲線材などに適用して場合、この理論的には厳密性を欠く上述の2元連立微分方程式が実用上いかなる精度をもつているか考察したものである。この目的のために著者らが導いた薄肉断面曲線材の剛性マトリックス<sup>2)</sup>を用いると曲率面内変位と曲率面外変位との連成について明白に説明出来、任意軸の変位に関して任意の荷重、支承条件のもとで曲線材の解析が容易に出来ることになる。

2. 薄肉断面曲線材の剛性マトリックス 図-1(a)に示す曲線材要素*i-j*に対する内柱座標系( $O'-p, \theta, l$ )と右手系直角座標系( $i-x, y, z$ )を用いる。軸線*i-j*は断面の任意の点を通る母線である。軸線*i-j*の変位 $u_i, v_i, w_i$ および $\theta$ を3次のべき級数で近似して、仮想仕事の原理を用いると、次の方程式が得られる。  

$$\{P\} = \int_V [B]^T [D] [B] dV \cdot \{\delta\} = [K] \{\delta\} \quad (1)$$

$$[K] = \int_0^L \int_F [B]^T [D] [B] t ds p d\theta \quad (2)$$

ここで、

$[B]$  は  $2 \times 14$  マトリックスで各要素は  $x, y, w, \theta$  の関数である。また、  
 $[D] = \begin{bmatrix} E & 0 \\ 0 & G \end{bmatrix}$  で部材要素の弹性係数マトリックスである。 $\{P\}$  および  
 $\{\delta\}$  は節点力および節点変位ベクトルである。  
 $\{\delta\} = \left[ u_{xi} v_{xi} w_{xi} \phi_{xi} \psi_{xi} \varphi_{xi} \psi_{yi} u_{yi} v_{yi} w_{yi} \phi_{yi} \psi_{yi} \varphi_{yi} \right]^T \quad (3)$   
 $\{P\} = \left[ Q_{xi} Q_{yi} N_{xi} M_{xi} M_{yi} T_{xi} M_{yi} Q_{xi} Q_{yi} N_{xi} M_{xi} M_{yi} T_{xi} M_{yi} \right]^T \quad (4)$

$[K]$  は求める剛性マトリックスで  $14 \times 14$  正方マトリックスである。詳細

は文献<sup>2)</sup>を参照のこと。ここでは要素の配列と曲率面外変位に関するものと曲率面内変位に関するものとで再配列した分割マトリックスを示すと、式(1)は式(4)のようく表わされる。

$$\begin{bmatrix} P_x \\ P_\beta \end{bmatrix} = \begin{bmatrix} K_{\alpha\alpha} & K_{\alpha\beta} \\ K_{\beta\alpha} & K_{\beta\beta} \end{bmatrix} \begin{bmatrix} \delta_\alpha \\ \delta_\beta \end{bmatrix} \quad (4)$$

$$\begin{bmatrix} \delta_\alpha \\ \delta_\beta \end{bmatrix} = \left\{ \begin{array}{l} \{P_x\} = [Q_{xi} M_{xi} T_{xi} M_{yi} Q_{yi} M_{yi} T_{yi} M_{xi}]^T \\ \{P_\beta\} = [Q_{xi} N_{xi} M_{xi} Q_{yi} N_{yi} M_{yi}]^T \\ \{\delta_\alpha\} = [u_{xi} \phi_{xi} \psi_{xi} \varphi_{xi} u_{yi} \phi_{yi} \psi_{yi} \varphi_{yi}]^T \\ \{\delta_\beta\} = [v_{xi} w_{xi} \phi_{xi} v_{yi} w_{yi} \phi_{yi}]^T \end{array} \right\} \quad (5)$$

剛性マトリックス  $[K]$  の各トマトリックスは式(6)のようく、断面諸量の関数である。

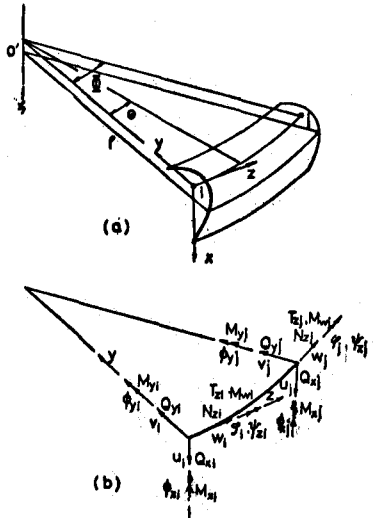


図-1 曲線材の座標系と節点変位

$$[K_{\alpha\alpha}] = [K_{\alpha\alpha}(J_y, C_y, J_w, J_T)], [K_{\beta\beta}] = [K_{\beta\beta}(F, Z_x, J_z)],$$

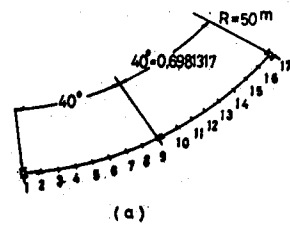
$$[K_{\alpha\beta}] = [K_{\beta\alpha}] = [K_{\beta\alpha}(Z_y, J_{xy}, C_x)]. \quad (6)$$

ここで断面諸量は式(7)のようく定義されている。

$$F = R \int_F \frac{1}{p} dF, Z_y = R \int_F \frac{1}{p} y dF, Z_x = R \int_F \frac{1}{p} y^2 dF, J_x = R \int_F \frac{1}{p} y^3 dF,$$

$$J_y = R \int_F \frac{1}{p} x^2 dF, J_T = \int_F \frac{1}{p} \left( \frac{R}{p} - \rho \frac{\partial}{\partial s} \left( \frac{w}{p} \right)^2 \right) dF, C_x = R \int_F \frac{1}{p} w y dF,$$

$$C_y = R \int_F \frac{1}{p} w x dF, J_w = R \int_F \frac{1}{p} w^2 dF \quad (7)$$



3. 固性マトリックスの特性による考察 式(4)は任意軸に固有の剛性マトリックスであるが、今(1)車輪車線 $i-j$ が中立車線の場合には、 $Z_y = Z_y = 0$ 、さらに $x, y$ 車線が主車線の場合には、 $J_{xy} = 0$ となる。また、(2)車線 $i-j$ がせん断中心車線の場合には、 $C_x = C_y = 0$ である。

任意軸を除いては(1)(2)いずれの場合においても断面が曲平面に平行な

車線(y車線)に固有の対称な場合には、 $Z_y = J_{xy} = C_x = 0$ となり、

表-1 連続曲線木行の断面諸量

$$[K_{\alpha\beta}] = 0 \text{ と } \{P_\alpha\} = [K_{\alpha\alpha}] \{d_\alpha\} \text{ と } i$$

独立する。以上のことは曲率面外荷重のときが

作用するときでも、(1)の場合には $J_{xy} = C_x + 0$ 、主車線に墜るときも $C_x \neq 0$ 、(2)の場合に

は、 $Z_y = J_{xy} \neq 0$ となりいずれも $[K_{\alpha\beta}]$ は

ある値をもつことになる。即ち曲率面内変位

を生ずる。たゞし曲率面内荷重がない場合には $\{P_\beta\} = 0$

であるから $\{P_\alpha\} = ([K_{\alpha\alpha}] - [K_{\alpha\beta}] [K_{\beta\beta}]^{-1} [K_{\beta\alpha}]) \{d_\alpha\}$ となつて連成しないが、 $\{d_\beta\} = -[K_{\beta\beta}]^{-1} [K_{\beta\alpha}] \{d_\alpha\}$ と

この曲率面内変位が生ずるので支承条件によつては曲率面

内力も生じてくる。曲線木行の断面諸量が直線木行のそれと等しいとみなせる場合、又車輪車線の断面では車線 $i-j$ が中立車線の場合、 $Z_x = Z_y = J_{xy} = C_y = 0$ 、 $C_x \neq 0$ 、車線 $i-j$ がせん

断中心車線の場合、 $Z_x = J_{xy} = C_x = C_y = 0$ 、 $Z_y \neq 0$ となる、

いずれも $[K_{\alpha\beta}]$ はある値をもち、曲率面内荷重のない場合

でも曲率面内変位 $\{P_\beta\}$ を生ずる。

4. 数値計算例 図-2 の x 軸を斜傾車軸にもつ開断面連続曲

線木行を解説する。断面諸量は表-1 に示す。計算はせん断

中心車線に固有のものと示すと、図-3 は開断面連続曲

線木行の格差 $i$ におけるたわみと曲げモーメント影響線を

示す。図-4 は開断面連続曲線木行の格差 $i$ におけるたわみ

と曲げモーメント影響線を示す。いずれも実線は曲率面内

変位を無視した場合、点線は考慮した場合である。

開断面の場合に付かだりの影響線がみられるが、開断面につ

いては全くその影響が小さいことが分る。

参考文献

1) 西野・倉方：「曲げねじれ剛性をもつた曲線木行橋の固性マトリックスによる解釈」への討議 土木学会論文報告集 No. 229.

2) 薄木・稲農：「薄肉断面曲線木行の変形法による解釈」土木学会論文報告集 No. 235.

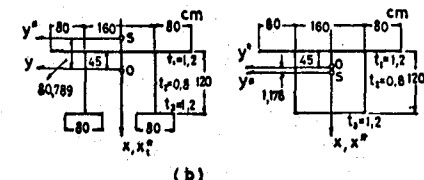


図-2 連続曲線木行と断面形状寸法

表-1 連続曲線木行の断面諸量

断面諸量		$F \text{ cm}^2$	$Z_x \text{ cm}^3$	$Z_y \text{ cm}^3$	$J_x \text{ cm}^4$	$J_y \text{ cm}^4$	$C_x \text{ cm}^3$	$C_y \text{ cm}^3$	$J_w \text{ cm}^4$	$J_z \text{ cm}^4$
直角断面	偏心断面	0.768 $\text{cm}^2$	0	0	5.3368 $\text{cm}^4$	2.1312 $\text{cm}^4$	4.7155 $\text{cm}^3$	0	5.5688 $\text{cm}^4$	3.1764 $\text{cm}^4$
偏心断面	偏心断面	0.768 $\text{cm}^2$	0	0	4.9156 $\text{cm}^4$	2.1312 $\text{cm}^4$	5.7880 $\text{cm}^3$	0	8.3310 $\text{cm}^4$	2.6025 $\text{cm}^4$
せん断中心車線	偏心断面	0.768 $\text{cm}^2$	0	0	6.2065 $\text{cm}^4$	5.8368 $\text{cm}^4$	7.1458 $\text{cm}^3$	0	0	1.7992 $\text{cm}^4$
偏心断面	偏心断面	0.768 $\text{cm}^2$	0	0	9.0048 $\text{cm}^4$	6.9156 $\text{cm}^4$	2.1323 $\text{cm}^3$	0	0	8.2627 $\text{cm}^4$

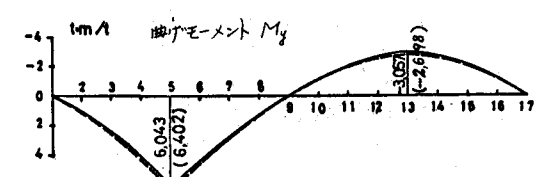
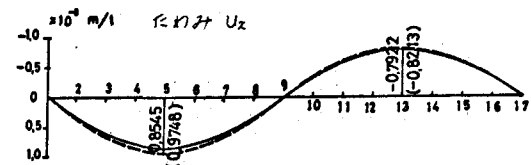


図-3 甫断面連続曲線木行格差 $i$ のたわみと曲げモーメント影響線

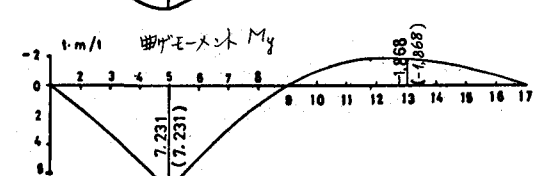
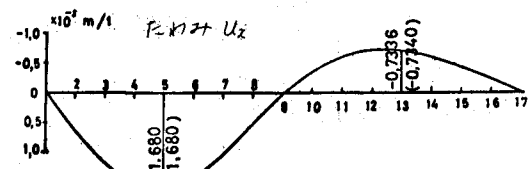


図-4 甫断面連続曲線木行格差 $i$ のたわみと曲げモーメント影響線